



- (Pulse Echo) -

가 (Under-Sodium Viewing: USV) 가

가  
가

[1].

가

가

가

가

가

가

(Lithium Niobate

Lead Zirconate)

(waveguide)

가

가  
가

가

가

가

가

C-scanning

## 2. 가

가

'Voidage'

가

가

ASME XI Div.3

가

[2]

가

1

가

1963

[4~20].

가

1

가

가

Ranging

가

가

Ranging

VISUS

Phenix

(strip plate)

가

가

가

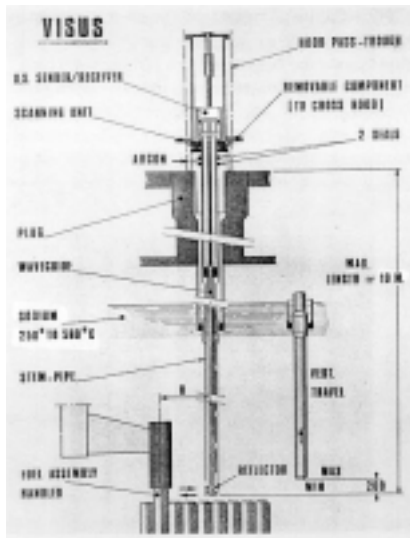
가

가

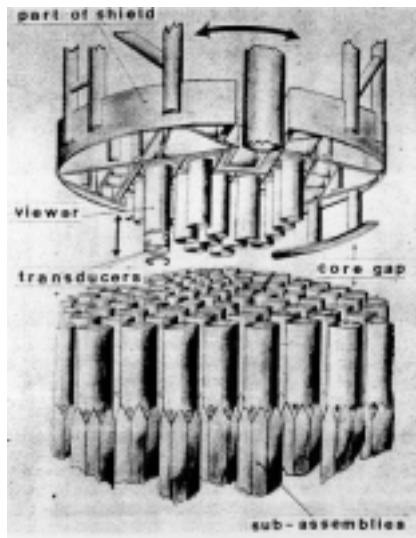
가

1. 가

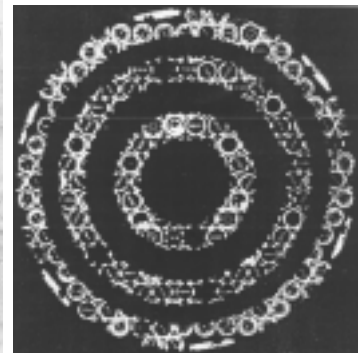
	CEA	1963~	Phenix	VISUS - 가 USV
	APDA	1963~	FFTF	Scanner FFTF
	UKAEA NNC	1973~	PFR	UKAEA : USV NNC : LSAS(Link type Scanner)
	Interatom	1974~	SNR-300	Mockup ,
	Indira Gandhi	1988~	FBTR	Scanner 1995
	JAPCO Toshiba Mitsubishi	1975~ 1990~ 1990~	Monju	USV Monju Multi-Transducer Phased Array UT , SAFT



(a) 가



(b)



( PFR)

1.

가

### 3.

가 200  
가  
가 가  
가 PZT(Lead Zirconate Titanate) (Lithium Niobate)  
가 가

### 3.1

가 가 1200 가 가 200 250  
가 가 PZT  
(Backing Material),  
( 'wetting' )  
가  
400  
가

### 3.2 가

가 가 가  
가 가 가  
[11,12]. 가  
가 가 가 , 가

가 가 . 가 가  
 가 가 가 가  
 가 .  
 Phenix VISUS 가 NaK 가 가  
 가 가  
 가 UKAEA Harwell Laboratory 1980  
 가 가 가  
 가 .  
 가 (plate wave Lamb wave)가  
 가 (symmetric) (antisymmetric) (dispersive)  
 [21]. 가 가 .  
 x extensional mode .  
 flexural mode transverse mode 가 가 z  
 0  
 Rayleigh-Lamb

$$\frac{\tan(qh)}{\tan(ph)} = -\frac{4k^2 pq}{(q^2 - k^2)^2} \quad (1)$$

$$\frac{\tan(qh)}{\tan(ph)} = -\frac{(q^2 - k^2)^2}{4k^2 pq} \quad (2)$$

$$p = \sqrt{k_L^2 - k^2} \quad q = \sqrt{k_T^2 - k^2} \quad k \quad (\text{wave number}), h$$

가 (dispersive) 가

Rayleigh-Lamb

$$(C_p) \quad (C_g)$$

$$C_g = \frac{C_p}{1 - \frac{fd}{C_p} \frac{\partial C_p}{\partial (fd)}} \quad (3)$$

f d  
 2

Tone Burst

가 가 가 가 가

Tone Burst 가

$fd$  가 2

가 가  $fd$  2  $A_0$  가

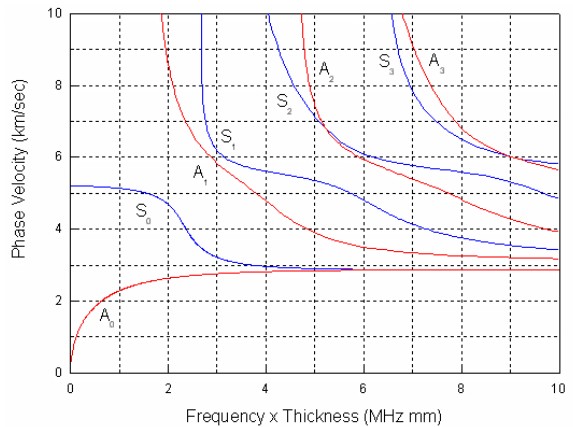
가 가 3 가 가

$$\sin q = \frac{C_L}{C_p} \quad (4)$$

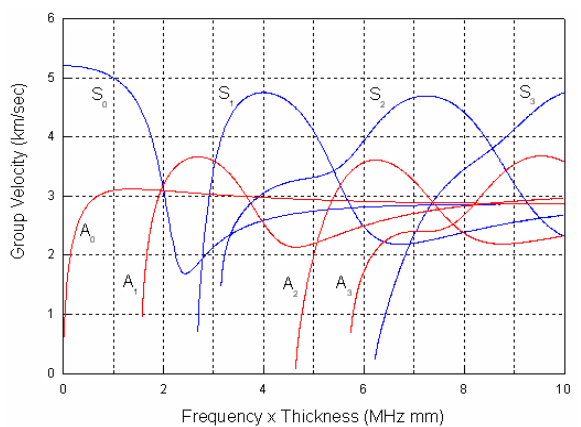
$C_L$  ( 1480m/s 200 가

2450m/s)  $C_p$  가  $\theta$  가 가

가 가 가 가 가



(a)



(b)

2.

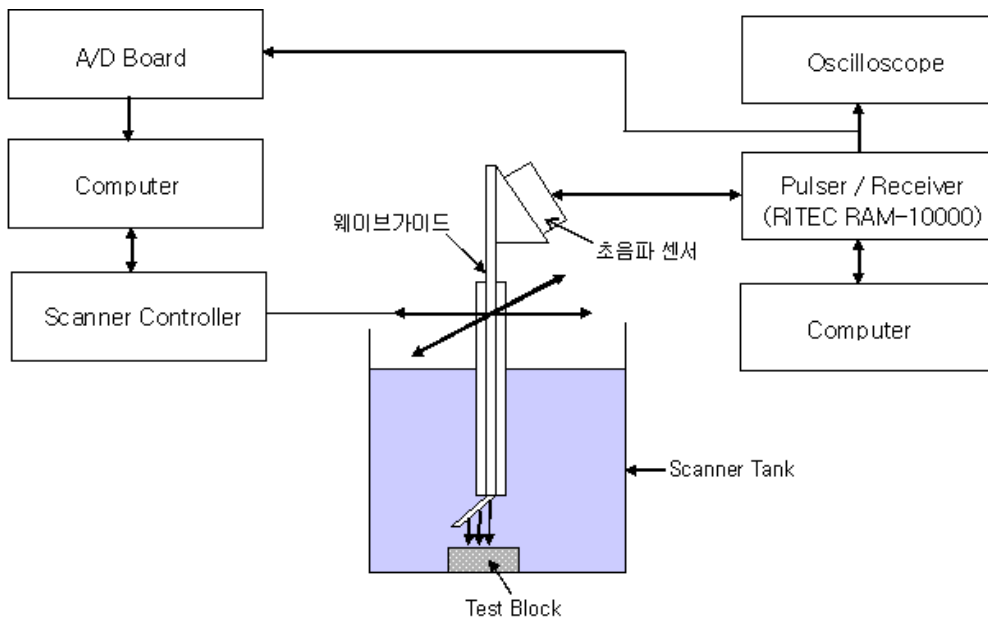
4. 가

C-scanning

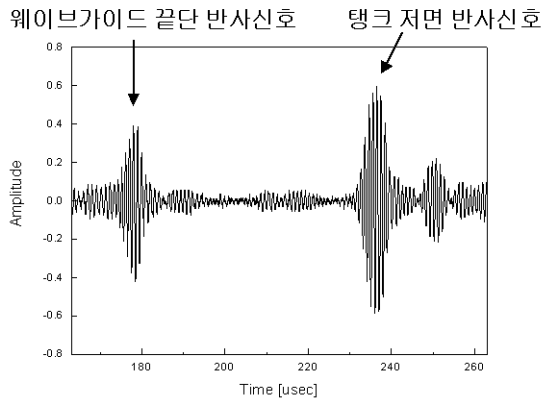
가 가 0.6m, 25mm, 1mm

(wettability)

가 가 가 block diagram .  
가 가 Tone Burst RITEC RAM-10000  
가 1MHz  
1/2"X1" SWRI 가  
. RAM-10000 가 1MHz 가 5 Tone Burst  
.. 가  
가 . (4) .  $A_0$   $C_p$   
2500m/s  $C_L$  1480 m/s 36° 가 . 가  
가 가 가  
가 가  
C-Scan Panametric Multiscan System 가 60mm  
30mm 가 10mm , 가  
30mm C-Scan . 4(a) 가  
 $A_0$  . 4(b) 가  
X, Y  
C-Scan 5 가 .  
가 가 가

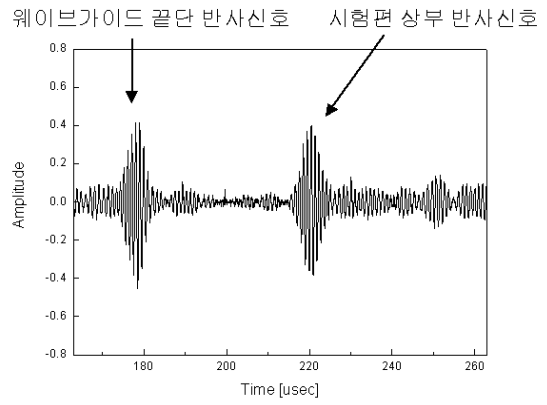


3. 가 C-scanning Block Diagram



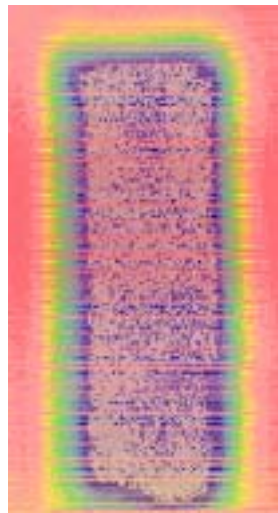
(a)

4. 가



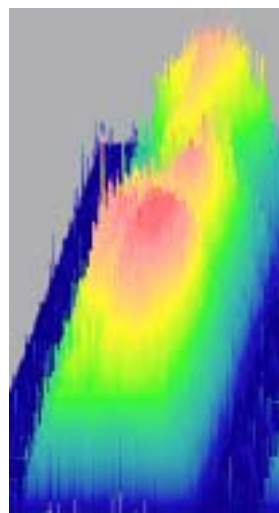
(b) block

C-scanning



(a) C-Scanning

5. 가



(b) Projection View

block C-scanning

4.

가

가

ASME Sec XI, Div. 3

가

가

가

가

가



- Metal Engineering and Technology, BNES, London, pp. 419~423, 1984.
- [15] H.A. Rohrbacher and R. Bartholomay, "Ultrasonic Measuring Technique in Sodium Systems," BNWL-TR-157, 1975.
  - [16] H.A. Rohrbacher and R. Bartholomay, "An Ultrasonic Sweep Arm for Use in Sodium-Cooled Reactors," EURFNR-1273, 1975.
  - [17] A. Rajendran, et al., "Development of an Ultrasonic Under-Sodium Scanner for the Fast Breeder Test Reactor," 14th World Conf. on Non Destructive Testing, New Delhi, India, pp. 349-352, 1996.
  - [18] R.D. Kale and S.B. Bhoje, "Engineering Component and Systems Development for Prototype Fast Breeder Reactor," Proceedings of ICONE 5, ICONE5-2603, 1997.
  - [19] H. Karasawa, et al., "Development of Under Sodium Inspection Techniques for FBR(2)," Proceedings of ICONE 5, ICONE5-2335, 1997.
  - [20] T. Susuki, et al., "Development of FBR Visual Inspection Technique in Sodium," Proceedings of ICONE 3, S212-2, pp. 905-910, 1995.
  - [21] I.A. Viktorov, *Rayleigh and Lamb Waves*, Plenum Press, New York, 1967.